

断面変形に着目したプレートガーダーの曲げ耐荷力解析

広島大学工学部 正員 大村 裕, 藤井 堅
広島大学大学院 学生員 正岡 祐一, 上甲 宏

1. まえがき

本報告では、プレートガーダーの曲げ耐荷力に関するフランジ鉛直座屈による崩壊メカニズムを明らかにするために、腹板の支持力をできるだけ正確に表現することを試みた。フランジ鉛直座屈が発生するのはすぐに指摘されているように腹板の曲げ座屈²⁾が生じて後、腹板面外たわみが大きくなるために十分な腹板の支持力が得られなくなるためと考えられる。

本研究では腹板のフランジを支える支持力をこの腹板の面外たわみと関連させたばねを用いて評価し、ばね支持された圧縮フランジの座屈問題におきかえてプレートガーダーの曲げ耐荷力を決定している。

2. 曲げ耐荷力解析

本解析モデル(図-1)では、腹板のフランジを支える力をばねでおきかえている点、そして、このばね定数を腹板の面外たわみを用いて評価する所に大きな特徴がある。

プレートガーダー腹板の挙動解析には、フランジと鉛直補剛材で固まれた腹板パネルを取り出して有限要素解析を行った。腹板パネルの境界条件は、フランジ接合辺で固定支持、鉛直補剛材接合辺で単純支持とした。また、各荷重に対する面外たわみを用いて、腹板の支持力と等価な単位幅当たりのばね定数Kは次式によって求めた。

$$K = \frac{E t^3}{12 h} \cdot \frac{1}{\int_0^h u^2 dx} \quad (1)$$

次に、フランジは、フランジ・鉛直補剛材接合辺を単純支持、他の2辺を自由端とし、フランジ・ウェア接合辺をばねで支持されている板として、圧縮を受ける座屈問題として取り扱う。本解析では残留応力を考慮した有限帯板解析を行った。

プレートガーダーの曲げ耐荷力は図-2を用いて説明される。この図では、フランジ・ウェア接合辺上の応力あるいは腹板の圧縮側の縁応力であり、またこれは腹板の面外たわみhiに対応するばねで支持されたフランジの座屈解析結果である。ここで、CDの範囲では腹板の面外たわみが小さく十分な支持力が期待されるので、全塑性座屈あるいはねじれ座屈によって崩壊する。DEの範囲では弹性支持されたフランジの弾塑性座屈(フランジ鉛直座屈)によって崩壊する。またEFの範囲では弹性座屈によって崩壊する。一方、曲線AOPoBは腹板面外たわみhiと腹板の圧縮側の縁応力の関係を示したものであり、初期にたわみのある場合は曲線APBとなる。そして、これら2つの曲線CDEF, AOPoBの交点Poに対応するひが折の曲げ崩壊時のフランジ・ウェア接合辺の応力を考えることができる。したがって、曲げ耐荷モーメントMuは近似的に次式によって与えられる。

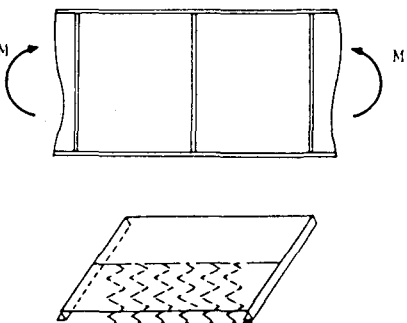


図-1 耐荷力解析モデル

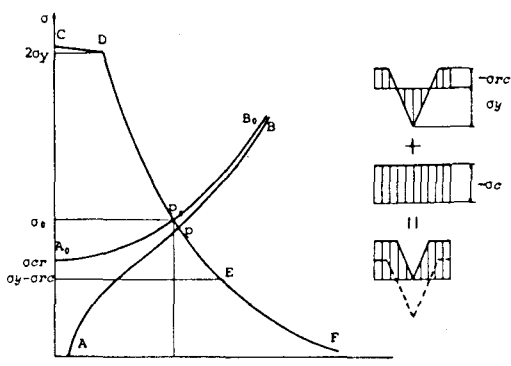


図-2 耐荷力決定のための概念図

$$M_u = M_w + P_u h \quad (2)$$

ここで、 P_u , M_w は、それぞれ両曲線の交点の応力 σ_0 に対応するフランジ軸力、腹板モーメントである。

3. 数値計算結果と考察

本研究では、過去に実験された耐荷力結果と本解析結果を比較検討することにした。残留応力や初期たわみは、耐荷力に大きく影響すると考えられるので、実験の測定値をできるだけ正確に表現した。本解析に用いた桁の幾何学的変数と断面諸量を図-3,

表-1に示す。解析を行った桁は3

種で、このうちウェブ幅厚比は、

B-25-A, B-25-O は 25.0 で、道

路橋示方書ではほぼ限界とされる幅

厚比であり、M-1 は 17.0 で幅厚

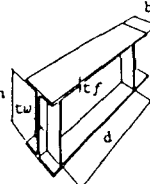


図-3 桁の幾何学的変数

比が小さくなっている。アスペクト比はそれぞれ 0.75, 1.50, 1.01 である。

ばね定数は式-1 からわかるように、たわみが大きいとばね定数は小さく、逆にたわみが小さいとばね定数は大きくなる。すなわち、鉛直補助材近傍では、鉛直補助材によってたわみが拘束されるからばね定数は ∞ となる。

解析桁のうち B-25-A について、単位幅当たりのばね定数分布を各荷重に対して表わせば図-3 を得る。図-3 から荷重増加とともにばね定数は低下して偏平になることがわかる。

図-2、式-2 より得られた耐荷力をはり理論から導かれる降伏モーメント M_y ($= A_f \sigma_y h (1 + \frac{A_w}{6A_f})$) で無次元化して表わせば表-2 を得る。また表には、実験値、長谷川、

Test Girder	B-25-A	B-25-O	M-1
Flg. $b \times t_f$ (cm)	28.8 × 1.209	22.6 × 0.900	20.0 × 0.700
Web $h \times t_w$ (cm)	112.0 × 0.444	79.6 × 0.310	79.3 × 0.450
d (cm)	84.0	119.3	80.0
b/t_f	23.8	25.1	28.6
h/t_w	252	257	176
d/h	0.75	1.50	1.01

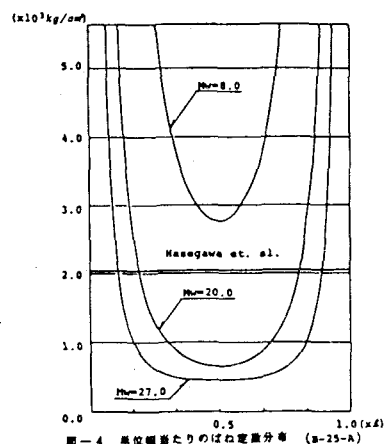


図-4 單位幅当たりのばね定数分布 (B-25-A)

Girder	b/t_f	d/h	h/t_w	A_w/A_f	M_u^{exp}/M_y	理論値 (M_u^{th}/M_y)			
						本解析値	長谷川	Basler	ねじれ座屈
M-1	14.29	1.01	176	2.55	0.761	0.790			0.812
B-25-A ³⁾	11.91	0.75	252	1.43	0.92	0.916	0.916	0.912	
B-25-O ⁴⁾	12.56	1.50	257	1.21	0.834	0.871	0.924	0.934	

Basler 理論があわせて示している。表-2 からわかるように、本解析値は実験値をよく評価している。これに対して、アスペクト比 1.50 の B-25-O に対しては、長谷川、Basler 理論は、実験値との差異は 11.4 % である。一方、本解析値と実験値との差異は 4.4 % となっており、本解析における耐荷モデルは、曲げ耐荷力をかなり正確に評価していると考えられる。ところで、長谷川、Basler の解析モデルは、鉛直座屈の耐荷力を評価するものであり、ねじれ座屈の耐荷力を評価することができないが、本解析はねじれ座屈も考慮することができます。ねじれ座屈を起こしている M-1 に対しても、本解析値は実験値とよく近似しており、実験値との差異は 3.8 % である。

(参考文献)

- 1) Basler, K. and B. Thürliman : Strength of plate girders in bending, Proc. of ASCE, Vol. 87, No. ST6, pp. 153~181, Aug. 1961
- 2) 長谷川幹夫・船口隆良・西野文雄：アートガーダーの耐荷力に関する一考察(上)，構梁と基礎，Vol. 11, No. 4, pp. 25~32, Apr. 1977.
- 3) 長谷川幹夫・和田耕輔・西野文雄：ウェブの剛性に注目したアート・ガーダーの曲げ耐荷力実験，土木学会論文報告集，第305号，1981年1月。
- 4) 長谷川・西野・奥村：水平補助材を有するアートガーダーの曲げ耐荷力実験，土木学会論文報告集，第234号，pp. 33~44 (昭50)